

03:04
 ©1995 г.

СКОРОСТЬ РАСПРОСТРАНЕНИЯ ИОНИЗАЦИОННО-ДРЕЙФОВОЙ ВОЛНЫ ПРОБОЯ

Л.П.Грачев, И.И.Есаков, Г.И.Мишин, К.В.Ходатаев

Физико-технический институт им. А.Ф. Иоффе РАН,

194021, Санкт-Петербург, Россия

(Поступило в Редакцию 6 декабря 1994 г.)

Приводятся результаты экспериментального исследования пробоя коротких воздушных промежутков. Они сравниваются с выводами волновой ионизационно-дрейфовой теории и констатируется их согласие в предположении равенства скорости волны ионизации дрейфовой скорости электронов в невозмущенном поле E_0 : $v_{\text{др}} = \mu_e E_0$, где μ_e — подвижность электронов. Метод количественных измерений использовал искровой СВЧ генератор, питаемый источником с умножением напряжения. Исследуемый разрядник включался в него в качестве коммутатора. В результате был создан макет генератора с максимальной амплитудой поля излучения не менее 10^3 В/см при периоде его осцилляций около 1 нс и длительности импульса около 2.5 нс.

Введение

Обычно [1] процесс электрического пробоя газовых промежутков подразделяют на три этапа. Первый длится с момента включения напряжения до появления инициирующего электрона. Для "коротких" промежутков, т. е. при существенном перенапряжении, начальные электроны, как правило, рождаются за счет автоэмиссии с катода. В этом случае длительность этого этапа существенно меньше длительности последующих [1], в дальнейшем ею будем пренебрегать. На втором этапе, время которого будем называть временем задержки разряда θ_z , в разрядном промежутке идет процесс размножения носителей тока, но его сопротивление все еще практически не меняется, оставаясь большим. И наконец, на заключительном этапе коммутации с характерным временем θ_k происходит резкое падение сопротивления газового промежутка.

В [1] приводится выражение для θ_k искрового воздушного коммутатора при токах до нескольких килоампер

$$\theta_k = \frac{2}{aE_0^2}, \quad (1)$$

где $a = 0.8 - 1 \text{ см}^2/\text{B}^2 \cdot \text{с}$, E_0 — исходное поле в зазоре.

В этой же работе для θ_3 дается лишь ряд экспериментальных точек, полученных различными авторами в конкретных условиях. В [2] начальный этап газового пробоя рассматривается как процесс распространения волны ионизации. В ней показано, что система уравнений поля и баланса зарядов на границе области ионизации имеет автомодельное решение при скорости волны ионизации, направленной к аноду, не меньшей дрейфовой скорости электронов в невозмущенном поле v_{dp} . Конкретное же значение скорости из этого континуума теория не определяет.

Следуя за [2], предположим, что за θ_3 происходит "перекрытие" пробиваемого зазора ионизационной волной, распространяющейся от катода к аноду. Ее скорость измерим в специально поставленном эксперименте, результаты которого сравним с v_{dp} .

Постановка эксперимента

В эксперименте использовалось явление, количественная сторона которого однозначно связана с θ_3 .

Схема установки приведена на рис. 1. На ней испытуемый разрядник Δ закорачивает образованную проводниками 1 и 2 емкость C . Ее заряд осуществляется "свернутым в кольцо" высоковольтным генератором импульсного напряжения (ГИН) по известному временному закону. В зависимости от величины пробиваемого зазора Δ емкость C успеет зарядиться до разного напряжения U_Δ . После замыкания Δ при достаточно малой величине θ_k в системе проводников 1-2 начнут "бегать" электромагнитные волны, и при определенной конфигурации этих проводников запасенная в C энергия излучится в виде электромагнитного импульса. Зафиксированный приемником, этот импульс несет информацию о величине U_Δ , а следовательно, и о θ_3 . В эксперименте схема работала на атмосфере.

Остановимся подробнее на требованиях к элементам схемы и ее работе.

Пусть ГИН состоит из n каскадов, содержащих конденсатор C_0 , два сопротивления R_0 и разрядник k . Все C_0 заряжаются параллельно и

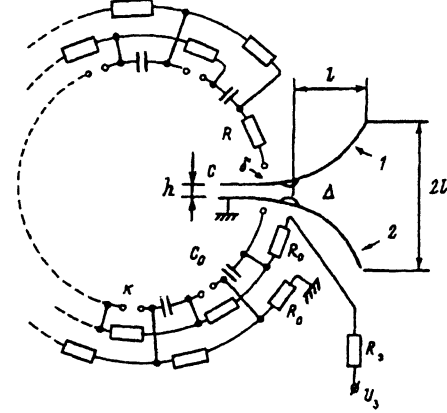


Рис. 1. Схема эксперимента, состоящая из "замкнутого в кольцо" ГИН и генератора с искровым возбуждением, в качестве коммутатора в который включен исследуемый разрядник Δ .

синхронно от высоковольтного источника с напряжением U_3 через со- противление $R_3 \gg nR_0$. Разрядники срабатывают при нарастании напряжений на C_0 до U_3 . В результате все C_0 оказываются включенными последовательно и на выходе ГИН формируется напряжение $U_0 = nU_3$. Именно поэтому такой источник называется источником с умножением напряжения. Сопротивления R_0 служат развязкой по высокому напряжению, и значение постоянной R_0C_0 должно быть существенно больше времени срабатывания k и требуемого времени поддержания U_0 .

На выходе ГИН включены сопротивление R и разрядник δ с напряжением пробоя $U_{\text{пп}} < U_0$. После его срабатывания начинает заряжаться емкость C . Отметим, что, как следует из схемы, при включении U_3 до замыкания всех k на δ и Δ напряжение практически отсутствует. Именно это свойство схемы с умножением напряжения делает ее удобной для предполагаемых исследований. Шель заряда C состоит из емкости $C_{\Sigma} = C_0/n$ начальным напряжением U_0 , конструктивной индуктивности L ГИН и R .

Величину L можно оценить по формуле кольца

$$L = \frac{\mu_0}{2\pi} l_0 n \ln \left(\frac{l_0 n}{\pi d} \right),$$

где $\mu_0 = 4\pi \cdot 10^{-7}$ Гн/м, l_0 — конструктивная длина одного каскада ГИН, $l_0 n$ — вся длина витка, d — диаметр его проводника.

При сложном составе ГИН d можно взять предположительно, например, 1 мм и точнить экспериментально.

При условии $R = 2\sqrt{L/C}$ и $C_{\Sigma} \gg C$ напряжение на C растет по закону

$$U_c \simeq U_0 \left(1 - e^{-t/\tau} \right), \quad (2)$$

где $\tau = \sqrt{LC}$, t — время с “момента” замыкания δ .

Ключ δ можно считать идеальным, если время его коммутации $\theta_{k\delta} \ll \tau$. Это условие ограничивает максимум зазора δ разрядника δ . Его минимум задается требованием малости межэлектродной емкости по сравнению с C .

Предположим, что на начальном этапе пробоя зазора Δ за время θ_3 происходит перекрытие его волной ионизации, которая движется от катода к аноду с $v_{\text{др}}$, определяемой “невозмущенным” полем в зазоре $v_{\text{др}} = \mu_e U_c / \Delta$, где в атмосфере $\mu_e = 4.5 \cdot 10^2 \text{ см}^2 / \text{В} \cdot \text{с}$. В этом случае за время t граница ионизации пройдет путь $x(t) = \int_0^t v_{\text{др}}(t) dt$. Отсюда при условии $x(t = \theta_3) = \Delta$ и с учетом (2) получим уравнение для θ_3

$$\frac{\Delta^2}{\mu_e U_0 \tau} = \frac{\theta_3}{\tau} - 1 + e^{-\theta_3/\tau}. \quad (3)$$

Сделав в некотором смысле противоположное допущение

$$v_{\text{др}} = \mu_e \frac{U_c}{\Delta - x}$$

для θ_3 получим несколько другое уравнение

$$\frac{1}{2} \frac{\Delta^2}{\mu_e U_0 \tau} = \frac{\theta_3}{\tau} - 1 + e^{-\theta_3/\tau}. \quad (4)$$

Подстановка вычисленного из (3) или (4) θ_3 в (2) дает напряжение U_Δ , до которого зарядится C при конкретном значении Δ , прежде чем его пластины соединят плазменный столб.

Пусть проводники конденсатора C выполнены в виде круглых пластин радиусом l и расположены соосно с расстоянием между ними $h \ll l$. И пусть в исходном состоянии C заряжен до U_Δ , а при $t = 0$ его пластины замыкаются по оси идеальным ключом. В этом случае в образовавшейся радиальной линии [3] начнут "бегать" TM электромагнитные волны и на ее разомкнутом конце напряжение будет ступенчато меняться от $+U_\Delta$ до $-U_\Delta$ с периодом $T = 4l/v_c$, где v_c — скорость света. На долю первой гармоники этих колебаний приходится 80% их энергии, и в дальнейшем будем рассматривать только ее. Наконец, пусть с одной стороны эта линия плавно переходит в излучатель шириной и полной высотой $2l$, как показано на рис. 1. В этом случае энергия, накопленная в C , начнет излучаться, а колебания в линии будут затухающими

$$U = U_\Delta e^{-t/\tau_i} \sin wt, \quad (5)$$

где $w = 2\pi/T$; τ_i — постоянная затухания, определяемая степенью согласования резонатора, образованного радиальной линией, с пространством, в которое происходит излучение.

По такому же закону будет изменяться и поле в излучающем раскрыве E_p . В свою очередь амплитуда поля излучения E_i линейно связана с амплитудой этого "ближнего" поля, а следовательно, и с U_Δ .

Именно на этом свойстве поля излучения и строится экспериментальная методика. Она заключается в снятии зависимости $E_i = f(\Delta)$ и сравнении ее с теоретической кривой $U_\Delta = f(\Delta)$, построенной на основе (2)–(4). Обратим внимание на характерную особенность последней зависимости. Из (2) видно, что при $t = \theta_3 \gtrsim 2\tau$ напряжение на C практически перестает меняться. Следовательно, как следует, например, из (3), при

$$\Delta \gtrsim \sqrt{\mu_e U_0 \tau} \quad (6)$$

E_i также должна расти с ростом Δ .

Отметим, что для определения конкретной формы огибающей излучаемого сигнала необходимо решить достаточно сложную электродинамическую задачу, что выходит за рамки настоящей работы.

При проектировании схемы необходимо учитывать ограничение на максимальную величину Δ . Легко видеть, что Δ можно рассматривать как "идеальный" ключ при замыкании C только в случае, если время его коммутации $\theta_{k\Delta} \ll T/4$. Это условие совместно с (1) дает требуемое ограничение на Δ .

Результаты эксперимента

Экспериментальная установка имела следующие параметры.

Длина волн излучения λ выбиралась из габаритных ограничений и возможностей аппаратуры, регистрирующей излучение, и задавалась равной 30 см. Проводники емкости C , имеющей форму описанной радиальной линии, совмещенной с излучателем, выполнялись из дюраля толщиной 2 мм размером $l = \lambda/4 = 7.5$ см. Величина h должна удовлетворять условию $h \ll \lambda/4$ и принималась равной 1.5 см. Таким

образом, $C \simeq 7 \text{ пФ}$. Исследуемый разрядник Δ выполнялся в виде двух соосных цилиндрических проводников диаметром 4 мм. Зазор Δ между ними регулировался от 0 до 8 мм и измерялся с точностью $\pm 0.1 \text{ мм}$. В качестве C_0 использовались дисковые конденсаторы КВИ диаметром 63 мм, на напряжение 15 кВ и емкостью 470 пФ. Конструктивная проработка показала, что l_0 с ними не может быть меньше 40 мм. Число каскадов ГИН $n = 9$. При этом $C_{\Sigma} \simeq 50 \text{ пФ} \gg C$. Зазоры разрядников k соответствовали $U_n = 12 \text{ кВ}$, что обеспечивало $U_0 = 108 \text{ кВ}$. Сопротивления $R_0 = 10 \text{ кОм}$ и позволяли поддерживать U_0 около микросекунды. Зазор δ регулировался от 0 до 25 мм. Отметим, что при напряжении 108 кВ пробивается промежуток размером не менее 35 мм, что существенно больше максимального Δ , т.е. его можно считать "коротким".

Оцененная по формуле кольцевого проводника $L = 0.34 \text{ мкГн}$. Она уточнялась экспериментально. При этом ГИН работал с закороченным Δ и $R = 0$, а сигнал с индуктивного витка диаметром 5 см, установленного на расстоянии 0.5 м от него, кабелем с волновым сопротивлением $\rho = 50 \text{ см}$, нагруженным на входе и выходе сопротивлением в 50 Ом, подавался на осциллограф. Последний при срабатывании k регистрировал экспоненциально затухающий сигнал с периодом 30 нс и постоянной затухания около 150 нс. Рассчитанная по периоду и C_{Σ} величина $L = 0.46 \text{ мкГн}$, что практически совпадает с оцененной. Таким образом, цепь заряда C имела $\tau = \sqrt{LC} = 1.8 \text{ нс}$.

На выходе ГИН устанавливалось $R = 600 \text{ Ом} \simeq 2\sqrt{L/C}$. Оно состояло из четырех безындуктивных сопротивлений ТВТ по 150 Ом. Со противление R_0 и R выбирались и монтировались так, чтобы их поверхность "не перекрывалась" паразитным разрядом.

Излучение принималось стандартной поляризационно чувствительной антенной с полосой от 0.3 до 2 ГГц и эффективной площадью $S_a = 100 \text{ см}^2$. Она устанавливалась на расстоянии $L_a = 8 \text{ м}$ от излучающей апертуры, нормально к ней. С антенны сигнал кабелем через линию задержки и при необходимости аттенюатор подавался на осциллограф С7-19 с входным сопротивлением $R_a = 50 \text{ Ом}$ и полосой от 0 до 5 ГГц. Его луч запускался описанной индуктивной петлей. Линия задержки подбиралась так, что начало сигнала на экране было задержано относительно начала луча. Изображение с экрана фотографировалось. Его вертикальный масштаб калибровался подачей на вход линии задержки прямоугольного импульса известной амплитуды длительностью 0.5 мкс и длительностью фронта, не превышающей 10 нс.

На рис. 2 представлен принимаемый сигнал при $\Delta = 4 \text{ мм}$. Его горизонтальный масштаб 5 нс/дел. Сигнал имеет $T \simeq 1 \text{ нс}$, практически совпадающий с ожидаемым T . Форма огибающей отличается от формы генерируемого сигнала (4) наличием "переднего фронта". Задний же склон экспоненциально затухает с $\tau_i \simeq 1.5 \text{ нс}$. Максимальная амплитуда сигнала $U_a = 40 \text{ В}$. Изменение ориентации антенны показало, что, как и ожидалось, излучение линейно поляризовано. Приведенное изображение соответствует положению антенны, при котором сигнал с нее при прочих неизменных условиях максимален. Для фиксированного Δ осциллограммы не меняются при варьировании δ от 0.5 до 25 мм. Следует отметить, что схема работает и при δ , даже меньших зазоров разрядников k , равных 4 мм.

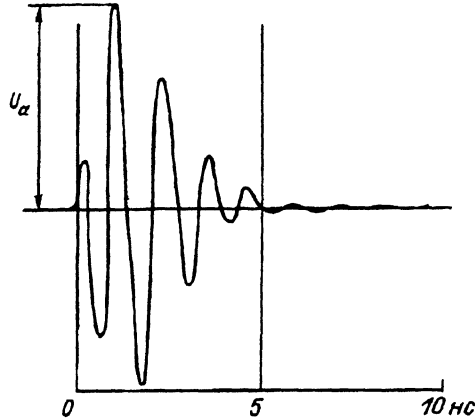


Рис. 2. Осциллограмма сигнала, принимаемого антенной, установленной на расстоянии 8 м от излучающей апертуры.
Временный масштаб 5 нс/дел., $U_a = 40$ В.

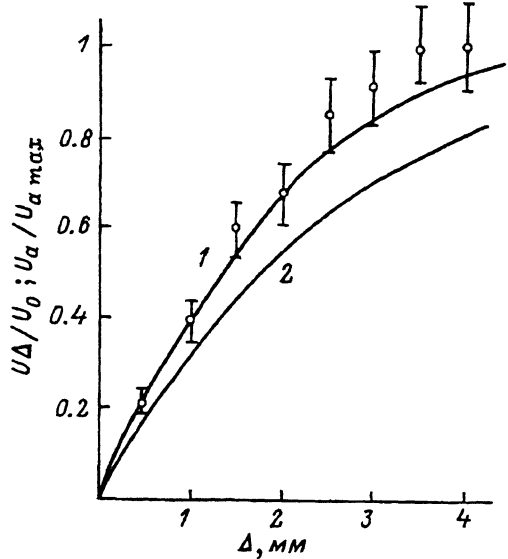


Рис. 3. Расчетные зависимости напряжения на разряднике к моменту его пробоя, отнесенного к максимальному возможному, от величины зазора: 1 — без учета влияния плазмы на дрейф электронов, 2 — с учетом этого влияния; точки — эксперимент.

При варьировании Δ в диапазоне от 0.5 до 5 мм форма сигнала остается подобной, т. е. сохраняются T и τ_i , а меняется лишь U_a . При конкретном Δ в этом диапазоне в последовательных импульсах стабильность U_a была равна $\pm 10\%$. При $\Delta \gtrsim 5$ мм стабильность генерации нарушается. На рис. 3 приведена экспериментальная зависимость отношения U_a к ее максимальной величине $U_{a\max}$ от Δ . Видно, что с ростом Δ до 3 мм U_a растет примерно линейно и далее до $\Delta = 5$ мм остается практически постоянной. На этом же рисунке дана зависимость $U_\Delta / U_0 = f(\Delta)$, рассчитанная по (2) и (3) и по (2) и (4) (сплошные кривые). Видно, что экспериментальные точки практически ложатся на теоретическую кривую, соответствующую движению фронта ионизации с v_{dr} в невозмущенном поле. Эксперимент также дополнительно подтвердил справедливость формулы (1). Из нее следует, что условие генерации $\theta_k \ll T/4$ выполняется лишь при $\Delta \lesssim 5$ мм. Так, при $\Delta = 5$ мм $\theta_{k\Delta} = 4.3 \cdot 10^{-11}$ с $\ll T/4 = 2.7 \cdot 10^{-10}$ с. При больших Δ ключ Δ все в меньшей степени является "идеальным", что и приводит, как фиксирует эксперимент, к срыву генерации.

Оценим теперь параметры поля излучения, соответствующие максимальному сигналу. По определению в районе антенны мощность сигнала $P_a = U_a^2 / 2R_a$ связана с потоком плотности энергии в TEM -волне $\Pi_a = E_a^2 / 2z_0$ равенством $P_a = S_a \Pi_a$, где $z = 120\pi$ Ом — волновое сопротивление вакуума. Подстановка в эти равенства значений $U_a = 40$ В, $R_a = 50$ Ом и $S_a = 100$ см² дает значение поля в районе антенны

$E_a = 11$ В/см. В районе же излучающей апертуры поле излучения

$$E_u = E_a \frac{\lambda L_a}{(2l)^2} = 1.1 \text{ кВ/см.}$$

Здесь учтена зависимость поперечного размера D пространства, занятого полем, от расстояния до излучателя L_a и его поперечного размера

$$D \simeq \lambda \frac{L_a}{2l}.$$

“Ближнее” же поле $E_p \simeq U_0/2l = 7.2$ кВ/см. Оно доминирует лишь в зоне Френеля, протяженность которой в нашем случае равна $\lambda/4 = 7.5$ см.

Заключение

Таким образом, в результате проведенных исследований показано следующее.

1. При пробое короткого воздушного промежутка на первом этапе он перекрывается ионизационной волной, движущейся от катода к аноду с дрейфовой скоростью электронов $v_{dp} = \mu_e E_0$, где μ_e — подвижность электронов и E_0 — поле в зазоре, без учета возмущения его разрядной плазмой.

2. Время следующего этапа — этапа коммутации хорошо описывается формулой [1]

$$\theta_k = \frac{2}{aE_0^2},$$

где $a \simeq 1 \text{ см}^2/\text{Вс.}$

В процессе проведения экспериментов по существу был испытан макет искрового генератора с максимальной амплитудой поля излучения около 10^3 В/см, при периоде его осцилляций около 1 нс и длительности импульса около 2.5 нс.

Список литературы

- [1] Месяц Г.А. Генерирование мощных наносекундных импульсов. М.: Сов. радио, 1974.
- [2] Лагарьков А.Н., Руткевич И.М. Волны электрического пробоя в ограниченной плазме. М.: Наука, 1989.
- [3] Лебедев И.В. Техника и приборы СВЧ. М.: Высшая школа, 1970.